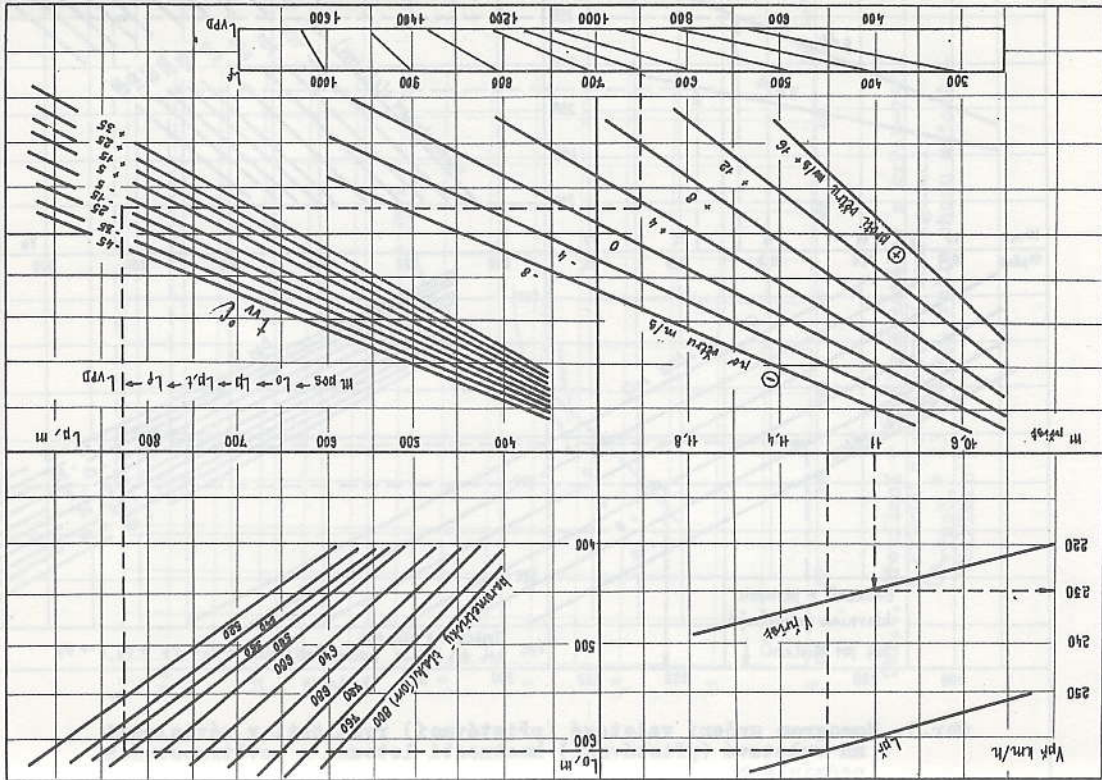
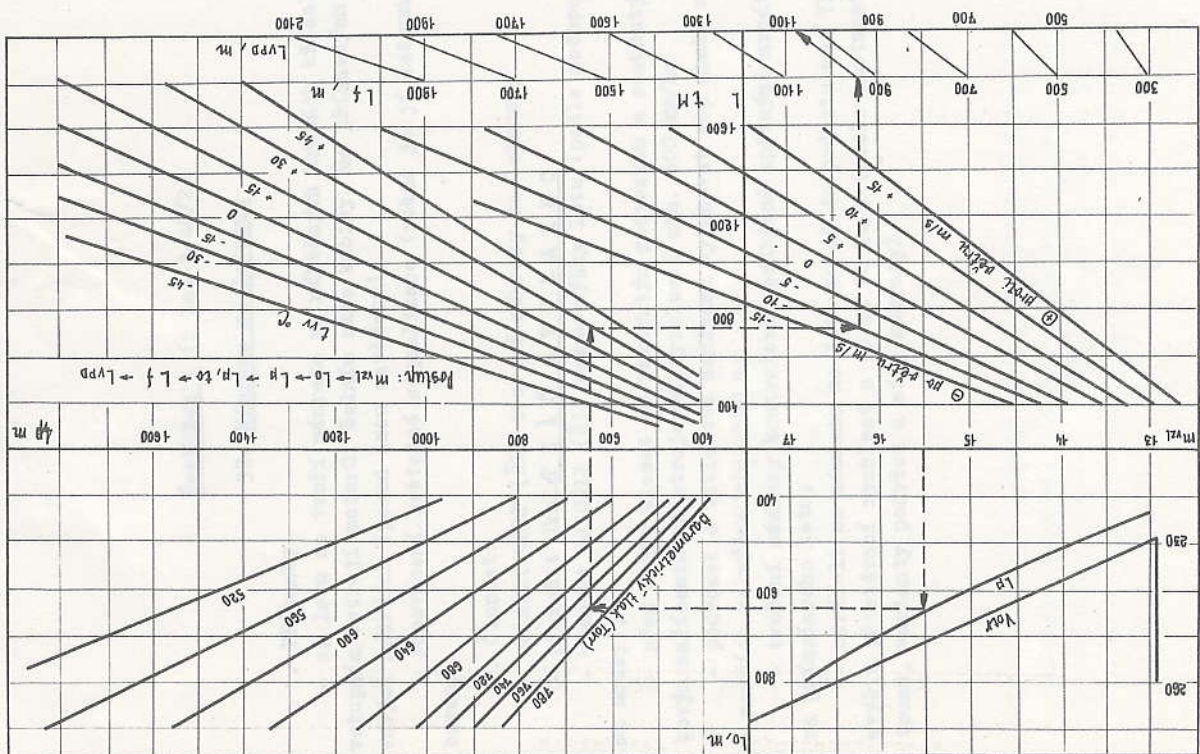
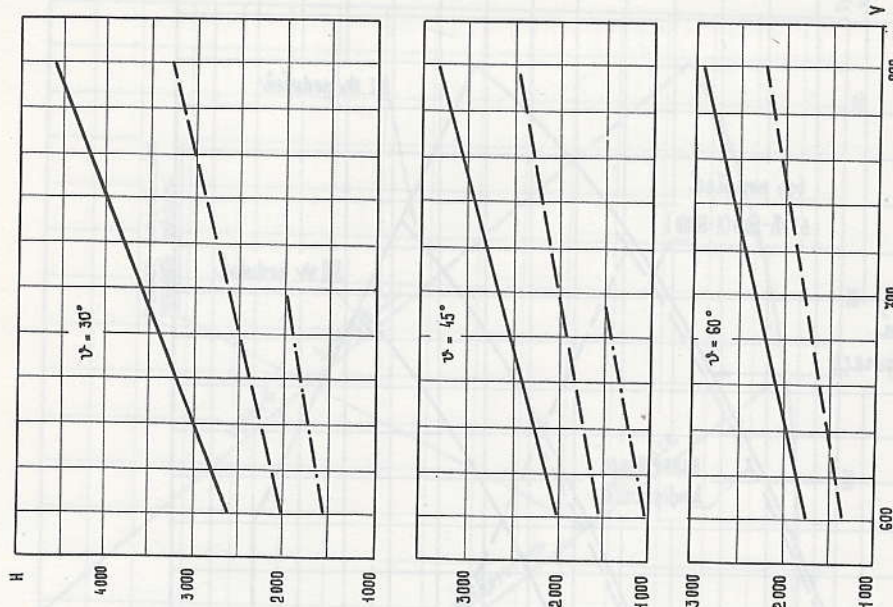


Obr. 2. Nomogram určené LVPD v závislosti na průměrné rychlosti letounu a povětrnostních podmínkách



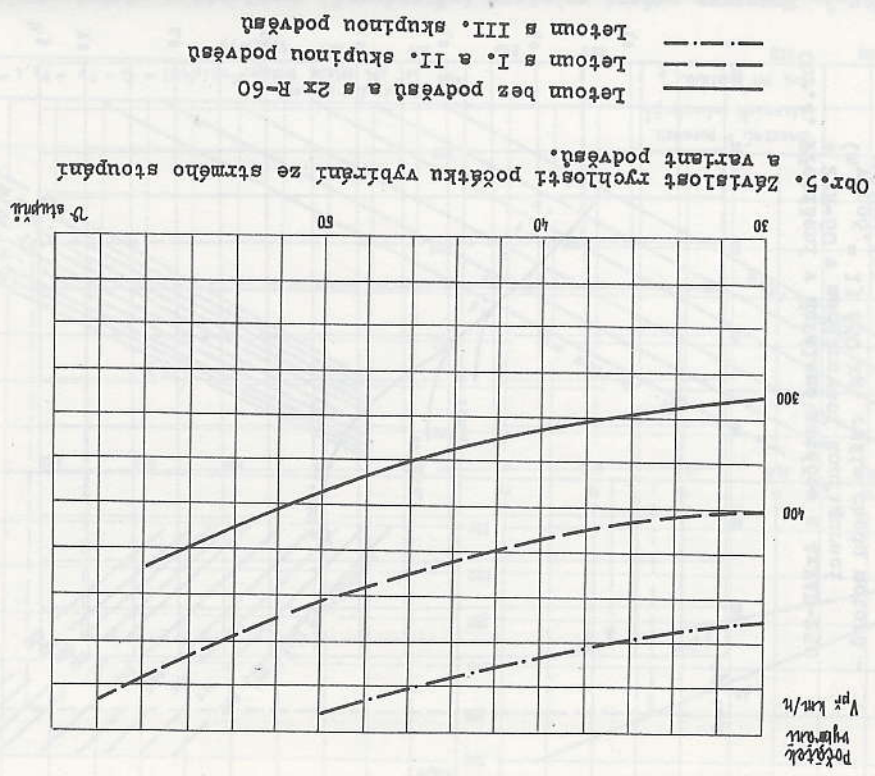
Obr. 1. Nomogram určené LVPD v závislosti na vzletové rychlosti letounu a povětrnostních podmínkách





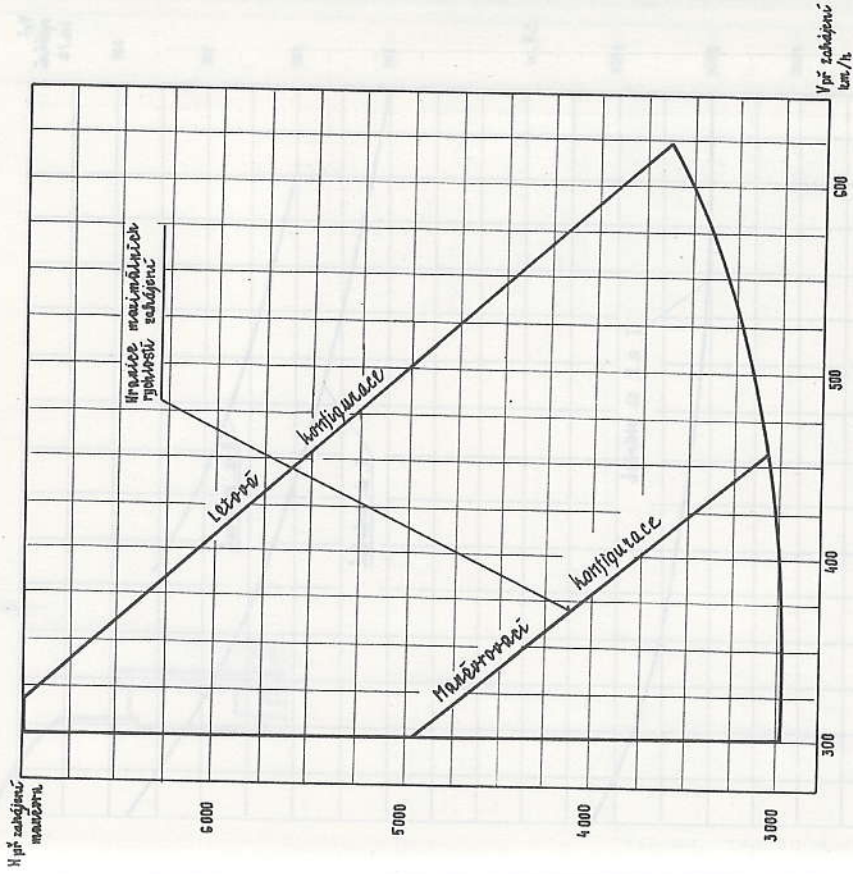
Obr. 6. Závislost získání výšky při strmém stoupání na rychlosti zabíjení, úhlu strmého stoupání a variantě podvěšů

- letoun bez podvěšů, s 2x R-60 a s I. skup. podvěšů
- - - letoun s II. skup. podvěšů
- · - · letoun s III. skupinou podvěšů



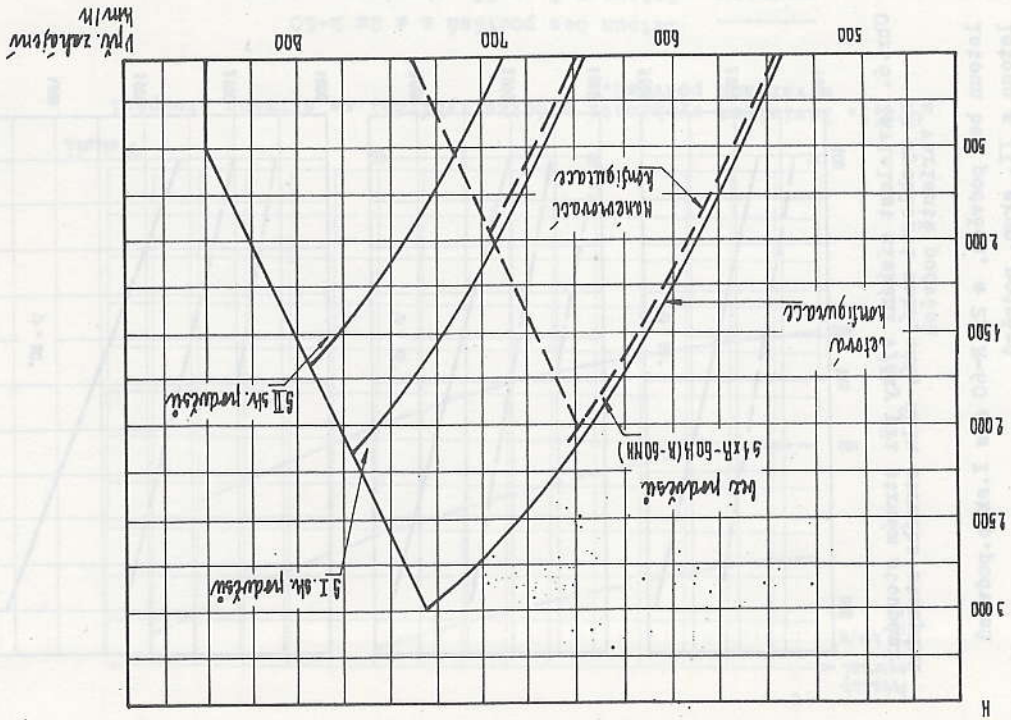
Obr. 5. Závislost rychlosti počátku vybití ze strmého stoupání a variant podvěšů.

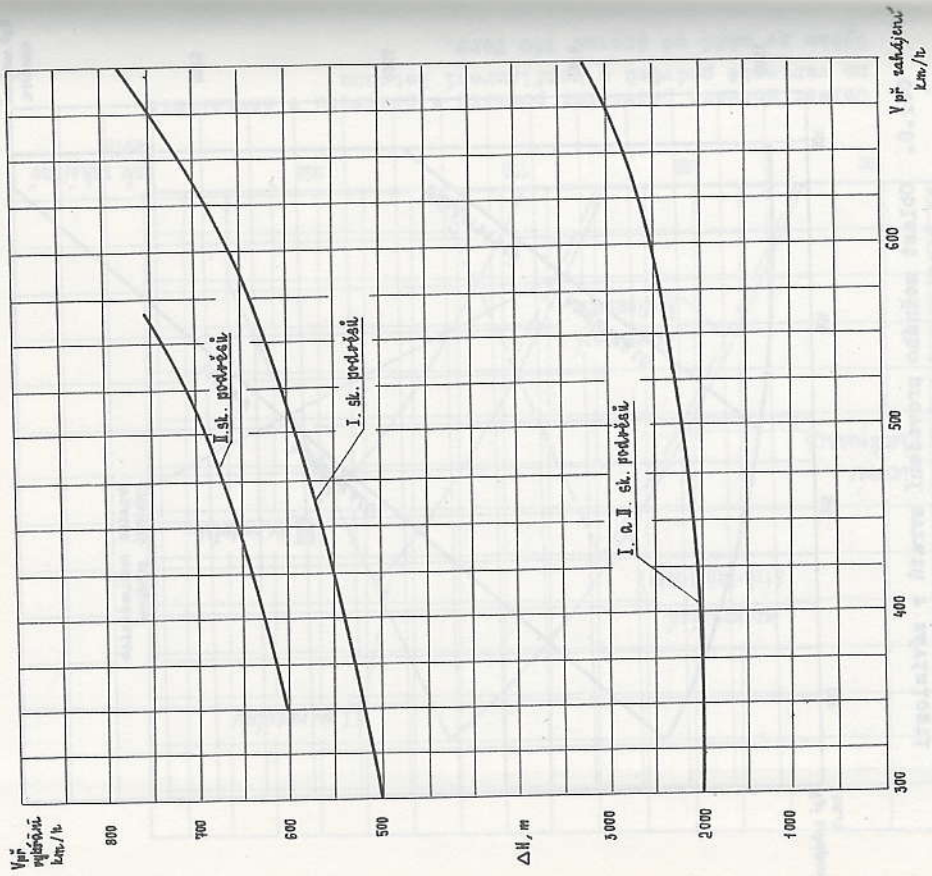
- Letoun bez podvěšů a s 2x R-60
- - - Letoun s I. a II. skupinou podvěšů
- · - · Letoun s III. skupinou podvěšů



Obr. 8. Oblast možného provedení zvrátů v závislosti na konfiguraci pro letoun bez podvěšů
Výška se měří od úrovně 760 Torr

Obr. 7. Oblast možného provedení přemetu a překřutu v závislosti na variantě podvěšů a konfiguraci letounu
Výška se měří od úrovně 760 Torr





Obr. 9. Závislost ztráty výšky při překřtu a rychlosti při vybrání z překřtu na rychlosti zahájení

